

**XLVI**

**ВСЕРОССИЙСКАЯ КОНФЕРЕНЦИЯ  
ПО ПРОБЛЕМАМ МАТЕМАТИКИ,  
ИНФОРМАТИКИ, ФИЗИКИ  
И ХИМИИ**

**Конференция посвящена 50-летию юбилею  
Российского университета дружбы народов**

*19 – 23 апреля 2010 г.*

**ТЕЗИСЫ ДОКЛАДОВ**

**СЕКЦИЯ ФИЗИКИ**

# ОПРЕДЕЛЕНИЕ ОБЛАСТИ ВОЗНИКНОВЕНИЯ АУТОКОЛЕБАНИЙ В СИСТЕМАХ ТИПА RED

А.В. Королькова, Д.С. Кулябов

«DEFINING THE AREAS OF SELF-OSCILLATIONS IN RED-LIKE SYSTEMS »

A.V. Korolkova, D.S. Kulyabov

*Российский университет дружбы народов, Москва, Россия*

*e-mail: akorolkova@sci.pfu.edu.ru, dharmamx@mx.pfu.edu.ru*

В работе предложен метод определения области возникновения автоколебаний и поиска стационарной точки в системах типа RED [1]. Рассмотрен численный пример с классическим алгоритмом RED [2].

Рассматривается система стохастических дифференциальных уравнений, математически описывающая взаимодействие TCP-Reno трафика с модулем, функционирующим по алгоритму семейства RED [3]:

$$\begin{cases} \dot{w}(t) = \frac{I(w_{\max} - w(t))}{T(t)} + \left( -\frac{w^2(t)}{2T(t)} \right) p(\hat{q})(1 - P_{TO}) + (1 - w(t)) \frac{w(t)}{T(t)} p(\hat{q})P_{TO}, \\ \dot{q}(t) = \frac{I(R - q(t))Nw(t)}{T(t)} (1 - p(\hat{q})) - C(t), \\ \dot{\hat{q}} = \frac{\ln(1 - \omega_q)}{\delta} \hat{q}(t) - \frac{\ln(1 - \omega_q)}{\delta} q(t) \end{cases} \quad (1)$$

Решение системы (1) может быть как устойчивым, так и представлять собой автоколебательный процесс. Возникновение автоколебаний обусловлено наличием у кусочно-непрерывной функции  $p(\hat{q})$  разрыва первого рода. Автоколебания возникают при попадании значения стационарной точки, вычисленной в рабочей области, в интервал безусловного сброса. Для нахождения стационарной точки системы (1) все производные по времени полагаются равными нулю.

Для определения области неустойчивого поведения системы необходимо построить график поведения стационарной точки в предположении, что участок безусловного сброса отсутствует и что свободны только  $n$  параметров системы, а остальные зафиксированы. В результате будет получена поверхность размерности  $n$ . Кроме того, необходимо построить плоскость  $\hat{q} = q_{\max}$ , представляющую собой границу перехода системы в область безусловного сброса. Тогда в области, лежащей выше граничной плоскости, поведение системы (1) будет неустойчивым и соответственно иметь автоколебательный характер.

В качестве примера рассмотрим систему с классическим RED. Система (1) была решена численно с помощью метода Рунге-Куты 4-го порядка. Для поиска стационарной точки применялся метод Ньютона.

Зафиксируем параметры:  $q_{\min} = 20$  пакетов и  $p_{\max} = 0,1$ . Остальные начальные параметры:  $w_{\max} = 32$  пак.,  $R = 100$  пак.,  $T_b = 0,01$  сек.,  $\omega_q = 0,0007$  сек.,  $C = 1400$  пак./сек.,  $\delta = 1/C$  сек. Изменяя параметр  $q_{\max}$

в пределах  $[q_{\min}, R]$ , получаем набор стационарных точек – равномерную одномерную поверхность (рис. 1).

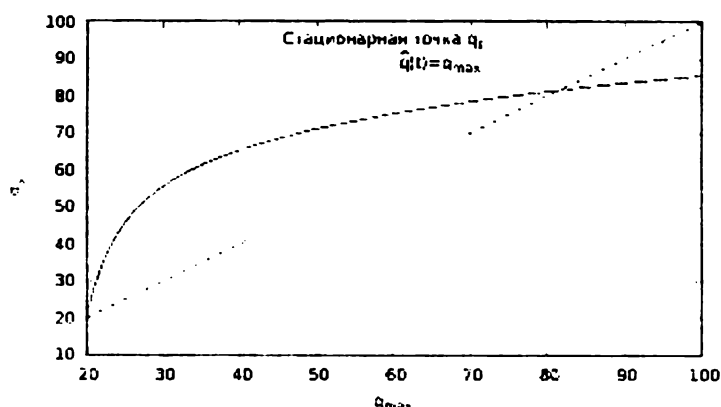


Рис. 1. Поведение стационарной точки в алгоритме RED

Если стационарная точка будет лежать в области, расположенной выше прямой  $\hat{q} = q_{\max}$ , то поведение системы будет неустойчивым.

Пример устойчивого и неустойчивого поведения системы приведен на рис. 2. При  $q_{\max} = 81$  система осциллирует вокруг своей стационарной точки, а при  $q_{\max} = 82$  поведение системы устойчиво.

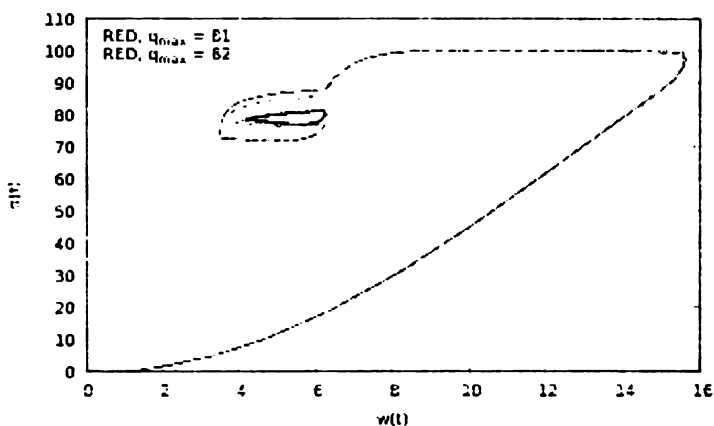


Рис. 2. Фазовый портрет для системы с RED

## Литература

- [1] Королькова А.В., Кулябов Д.С., Черноиванов А.И. К вопросу о классификации алгоритмов RED // Вестник РУДН. Сер. «Математика. Информатика. Физика». – 2009. – № 3. – С. 34-46.
- [2] Floyd S., Jacobson V. Random Early Detection for Congestion Avoidance // IEEE/ACM Transactions on Networking. – 1993. – № 1(4). – Pp. 397-413.
- [3] Королькова А.В., Черноиванов А.И. Моделирование при помощи стохастических дифференциальных уравнений поведения TCP-трафика при взаимодействии с узлом, работающим по алгоритму RED / Труды 52-й научной конференции МФТИ «Современные проблемы фундаментальных и прикладных наук»: Часть 1. Радиотехника и кибернетика. Т. 1. – М.: МФТИ, 2009. – С. 130-133.